

# PRINCIPIOS VARIACIONALES: APLICACIÓN A LA ECUACIÓN DEL CALOR

Víctor Fachinotti

*Cátedra de Mecánica del Continuo, Carrera de Ingeniería Informática, Facultad de Ingeniería y Ciencias Hídricas, Universidad Nacional del Litoral (UNL), vfachino@intec.unl.edu.ar, <http://www.cimec.org.ar/mc>*

## 1. FORMA VARIACIONAL DE LA ECUACIÓN DEL CALOR

En régimen estacionario, la distribución de temperaturas  $T$  sobre un cuerpo  $\mathcal{B}$  está gobernada por la ecuación del calor

$$\nabla \cdot (k \nabla T) + f = 0 \quad \text{sobre } \mathcal{B} \quad (1)$$

donde  $k$  es la conductividad térmica del material y  $f$  es una fuente interna de calor distribuida en  $\mathcal{B}$ .

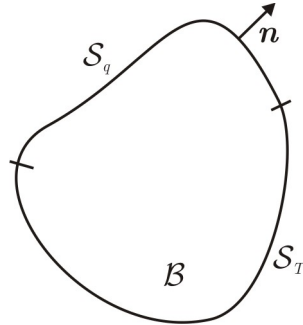


Figura 1: Dominio del análisis térmico

Como se observa en la figura 1,  $\mathcal{B}$  tiene su frontera  $\mathcal{S}$  dividida en dos porciones:  $\mathcal{S}_T$ , donde se impone la temperatura  $\bar{T}$ , y  $\mathcal{S}_q$ , donde se impone el flujo de calor  $\bar{q}$ . La ecuación del calor (1) está entonces sujeta a las condiciones de borde

$$T = \bar{T} \quad \text{sobre } \mathcal{S}_T \quad (\text{Condición de borde tipo Dirichlet}) \quad (2)$$

$$-k \nabla T \cdot \mathbf{n} = \bar{q} \quad \text{sobre } \mathcal{S}_q \quad (\text{Condición de borde tipo Neumann}) \quad (3)$$

siendo  $\mathbf{n}$  el vector unitario saliente normal a la frontera  $\mathcal{S}$ .

La solución  $T$  debe pertenecer al conjunto  $\mathcal{V}$  de funciones suficientemente suaves (esto es, continuas y de derivadas parciales continuas hasta un orden suficientemente grande) que satisfacen la condición de borde en la porción  $\mathcal{S}_T$  de la frontera:

$$\mathcal{V} = \{u \text{ suficientemente suave tal que } u = \bar{T} \text{ sobre } \mathcal{S}_T\} \quad (4)$$

Dada una función arbitraria  $\tilde{T} \in \mathcal{V}$ , definimos la **variación** de  $T \in \mathcal{V}$  como

$$\delta T = \tilde{T} - T \quad (5)$$

Luego,  $\delta T$  pertenece al espacio de variaciones admisibles

$$\mathcal{W} = \{u \text{ suficientemente suave tal que } u = 0 \text{ sobre } \mathcal{S}_T\} \quad (6)$$

Multipliquemos la ecuación de calor (1) por  $\delta T$  y luego integremos sobre  $\mathcal{B}$ :

$$\int_{\mathcal{B}} \nabla \cdot (k \nabla T) \delta T \, dV = - \int_{\mathcal{B}} f \delta T \, dV \quad (7)$$

Nótese que

$$\nabla \cdot (k \nabla T \delta T) = \nabla \cdot (k \nabla T) \delta T + k \nabla T \cdot \nabla \delta T \quad (8)$$

donde el primer término del lado derecho es el integrando del lado izquierdo de la ecuación (7). Luego, el lado izquierdo de la ecuación (7) se puede descomponer como:

$$\int_{\mathcal{B}} \nabla \cdot (k \nabla T) \delta T \, dV = \int_{\mathcal{B}} \nabla \cdot (k \nabla T \delta T) \, dV - \int_{\mathcal{B}} k \nabla T \cdot \nabla \delta T \, dV \quad (9)$$

Apliquemos el **teorema de Gauss** al primer término del lado derecho:

$$\int_{\mathcal{B}} \nabla \cdot (k \nabla T \delta T) \, dV = \int_{\mathcal{S}} (k \nabla T \delta T) \cdot \mathbf{n} \, dS = \int_{\mathcal{S}} k \nabla T \cdot \mathbf{n} \delta T \, dS \quad (10)$$

Como  $\delta T = 0$  sobre  $\mathcal{S}_T$ :

$$\int_{\mathcal{S}} k \nabla T \cdot \mathbf{n} \delta T \, dS = \int_{\mathcal{S}_q} k \nabla T \cdot \mathbf{n} \delta T \, dS \quad (11)$$

Sobre  $\mathcal{S}_q$ , tenemos la condición de borde  $-k \nabla T \cdot \mathbf{n} = \bar{q}$ , así que el primer término del lado derecho de la ecuación (9) resulta finalmente

$$\int_{\mathcal{B}} \nabla \cdot (k \nabla T \delta T) \, dV = - \int_{\mathcal{S}_q} \bar{q} \delta T \, dS \quad (12)$$

Introduciendo ésta en la ecuación (9), tenemos

$$\int_{\mathcal{B}} \nabla \cdot (k \nabla T) \delta T \, dV = - \int_{\mathcal{S}_q} \bar{q} \delta T \, dS - \int_{\mathcal{B}} k \nabla T \cdot \nabla \delta T \, dV \quad (13)$$

Introduciendo esta ecuación en la ecuación (7), llegamos a la **forma variacional o débil de la ecuación del calor**: hallar  $T \in \mathcal{V}$  tal que

$$\int_{\mathcal{B}} k \nabla T \cdot \nabla \delta T \, dV = \int_{\mathcal{B}} f \delta T \, dV - \int_{\mathcal{S}_q} \bar{q} \delta T \, dS \quad (14)$$

para toda variación admisible  $\delta T \in \mathcal{W}$ .

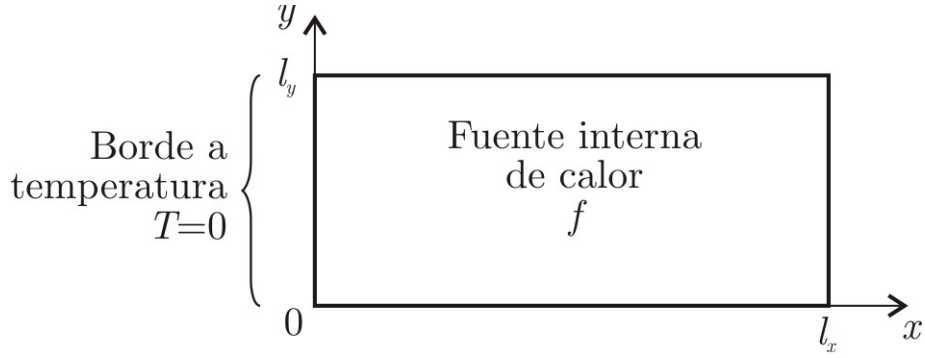


Figura 2: Conducción de calor en un dominio rectangular

## 2. CONDUCCIÓN DE CALOR EN UN DOMINIO RECTANGULAR

Sea un dominio rectangular  $\mathcal{B} = [0, l_x] \times [0, l_y]$  como el de la Figura 2, donde la pared izquierda ( $x = 0$ ) se mantiene a temperatura  $T = 0$ . En el dominio actúa una fuente interna de calor de magnitud  $f$ .

El problema de conducción de calor en este dominio, planteado en forma variacional por la ecuación (14) sin flujo de calor superficial ( $\bar{q} = 0$ ), consiste en hallar la distribución de temperaturas  $T = T(x, y)$  para todo  $(x, y) \in \mathcal{B}$  tal que

$$\int_0^{l_x} \int_0^{l_y} k \nabla T \cdot \nabla \delta T \, dx \, dy = \int_0^{l_x} \int_0^{l_y} f \delta T \, dx \, dy \quad (15)$$

para toda variación admisible  $\delta T$  de la temperatura.

### 2.1. Discretización del problema variacional

A continuación, describimos cómo discretizar el problema variacional (15), es decir, aproximarlo por un sistema de ecuaciones algebraicas con un número finito de incógnitas. Proponemos por ejemplo el siguiente espacio de soluciones

$$\mathcal{V} = \{u \text{ tal que } u = x P_n(x, y)\} \quad (16)$$

donde  $P_n(x, y)$  es un polinomio completo de orden  $n$ . Nótese que las funciones  $u \in \mathcal{V}$  tienen orden  $n$  en la variable  $y$  y orden  $n + 1$  en la variable  $x$ , y pueden hacerse tan suaves como se quiera adoptando  $n$  suficientemente grande. **El problema se torna discreto al adoptar  $n$  finito.**

Además, al multiplicar  $P_n$  por  $x$  se garantiza que toda  $u \in \mathcal{V}$  satisfaga automáticamente la condición de borde Dirichlet  $u = 0$  en  $x = 0$ .

Recordemos que un polinomio  $P_n$  de orden  $n$  en dos variables  $x$  e  $y$  está dado por

$$P_n(x, y) = \sum_{i=0}^n \sum_{j=0}^{n-i} \alpha_{ji} x^j y^i \quad (17)$$

donde  $\alpha_{ji}$  es un número real. Por ejemplo,

$$P_0(x, y) = \alpha_{00} = \text{constante} \quad (18)$$

$$P_1(x, y) = \alpha_{00} + \alpha_{10}x + \alpha_{01}y = P_0 + \alpha_{10}x + \alpha_{01}y \quad (19)$$

$$P_2(x, y) = \alpha_{00} + \alpha_{10}x + \alpha_{20}x^2 + \alpha_{01}y + \alpha_{11}xy + \alpha_{02}y^2 = P_1 + \alpha_{20}x^2 + \alpha_{11}xy + \alpha_{02}y^2 \quad (20)$$

⋮

Gráficamente, los monomios del polinomio  $P_n(x, y)$  quedan definidos por el triángulo de Pascal (Figura 3).

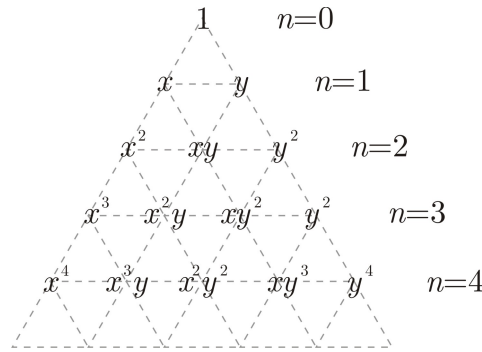


Figura 3: Triángulo de Pascal

Así, explícitamente, la solución  $T \in \mathcal{V}$  resulta

$$T(x, y) = a_{00}x + a_{10}x^2 + a_{01}xy + a_{20}x^3 + a_{11}x^2y + a_{02}xy^2 + \dots \quad (21)$$

con los coeficientes reales  $a_{ij}$  como incógnitas a determinar. La ecuación anterior puede escribirse en forma matricial como

$$T(x, y) = \mathbf{A} \cdot \mathbf{X} = \mathbf{A}^T \mathbf{X} = \mathbf{X}^T \mathbf{A} \quad (22)$$

con

$$\mathbf{A} = \begin{bmatrix} a_{00} \\ a_{10} \\ a_{01} \\ a_{20} \\ a_{11} \\ a_{02} \\ \vdots \end{bmatrix}, \quad \mathbf{X} = \begin{bmatrix} x \\ x^2 \\ xy \\ x^3 \\ x^2y \\ xy^2 \\ \vdots \end{bmatrix} \quad (23)$$

El gradiente de  $T$  resulta:

$$\nabla T = \begin{bmatrix} \frac{\partial T}{\partial x} \\ \frac{\partial T}{\partial y} \end{bmatrix} = \begin{bmatrix} a_{00} + 2xa_{10} + ya_{01} + 3x^2a_{20} + 2xya_{11} + y^2a_{02} + \dots \\ 0 + 0 + xa_{01} + 0 + x^2a_{11} + 2xya_{02} + \dots \end{bmatrix} = \mathbf{B}\mathbf{A} \quad (24)$$

con

$$\mathbf{B} = \begin{bmatrix} 1 & 2x & y & 3x^2 & 2xy & y^2 & \dots \\ 0 & 0 & x & 0 & x^2 & 2xy & \dots \end{bmatrix} \quad (25)$$

Toda otra función  $\tilde{T} \in \mathcal{V}$  puede expresarse como

$$\tilde{T}(x, y) = \tilde{\mathbf{A}}^T \mathbf{X} = \mathbf{X}^T \tilde{\mathbf{A}} \quad (26)$$

con

$$\tilde{\mathbf{A}} = \begin{bmatrix} \tilde{a}_{00} \\ \tilde{a}_{10} \\ \tilde{a}_{01} \\ \tilde{a}_{20} \\ \tilde{a}_{11} \\ \tilde{a}_{02} \\ \vdots \end{bmatrix} \quad (27)$$

siendo los coeficientes  $\tilde{a}_{ij}$  números reales arbitrarios (y por ende, el vector  $\tilde{\mathbf{A}}$  resulta arbitrario).

En forma matricial, la variación  $\delta T \in \mathcal{W}$  puede escribirse como

$$\delta T = \tilde{T} - T = \delta \mathbf{A}^T \mathbf{X} = \mathbf{X}^T \delta \mathbf{A} \quad (28)$$

con  $\delta \mathbf{A} = \tilde{\mathbf{A}} - \mathbf{A}$ , arbitrario. El gradiente de  $\delta T$  resulta entonces

$$\nabla(\delta T) = \mathbf{B} \delta \mathbf{A} \quad (29)$$

Ahora, remplazando las formas matriciales de  $T$ ,  $\delta T$  y sus gradientes en la forma variacional de la ecuación del calor dada por la ecuación (15), obtenemos

$$\int_0^{l_x} \int_0^{l_y} k (\mathbf{B} \delta \mathbf{A})^T (\mathbf{B} \mathbf{A}) \, dx \, dy = \int_0^{l_x} \int_0^{l_y} f \delta \mathbf{A}^T \mathbf{X} \, dx \, dy \quad (30)$$

$$\int_0^{l_x} \int_0^{l_y} k \delta \mathbf{A}^T \mathbf{B}^T \mathbf{B} \mathbf{A} \, dx \, dy = \int_0^{l_x} \int_0^{l_y} f \delta \mathbf{A}^T \mathbf{X} \, dx \, dy \quad (31)$$

$$\delta \mathbf{A}^T \left( \int_0^{l_x} \int_0^{l_y} k \mathbf{B}^T \mathbf{B} \, dx \, dy \right) \mathbf{A} = \delta \mathbf{A}^T \left( \int_0^{l_x} \int_0^{l_y} f \mathbf{X} \, dx \, dy \right) \quad (32)$$

$$(33)$$

Considerando que el vector  $\delta \mathbf{A}$  es arbitrario, llegamos al siguiente sistema lineal de ecuaciones algebraicas con  $\mathbf{A}$  como incógnita

$$\mathbf{K} \mathbf{A} = \mathbf{F} \quad (34)$$

con

$$\mathbf{K} = \int_0^{l_x} \int_0^{l_y} k \mathbf{B}^T \mathbf{B} \, dx \, dy \quad (35)$$

$$\mathbf{F} = \int_0^{l_x} \int_0^{l_y} f \mathbf{X} \, dx \, dy \quad (36)$$

Nótese que la matriz  $\mathbf{K}$  es simétrica, o sea,  $\mathbf{K}^T = \mathbf{K}$ .

## 2.2. Ejemplo 1: Conducción de calor en un dominio rectangular con fuente de calor uniforme

Aproximemos la solución  $T$  suponiendo  $n = 1$ , esto es,  $T$  es una función cuadrática de la variable  $x$  y lineal de la variable  $y$ . Con  $n = 1$ , la aproximación de  $T$  sólo contiene los términos con coeficientes  $a_{ij}$  donde  $i + j \leq 1$ :

$$\mathbf{A} = \begin{bmatrix} a_{00} \\ a_{10} \\ a_{11} \end{bmatrix}, \quad \mathbf{X} = \begin{bmatrix} x \\ x^2 \\ xy \end{bmatrix}, \quad \mathbf{B} = \begin{bmatrix} 1 & 2x & y \\ 0 & 0 & x \end{bmatrix}, \quad \mathbf{B}^T \mathbf{B} = \begin{bmatrix} 1 & 2x & y \\ 2x & 4x^2 & 2xy \\ y & 2xy & x^2 + y^2 \end{bmatrix} \quad (37)$$

Asumiendo  $f$  y  $k$  constantes, tenemos

$$\mathbf{F} = f \int_0^{l_x} \int_0^{l_y} \mathbf{X} \, dx \, dy = f \begin{bmatrix} l_x^2 l_y / 2 \\ l_x^3 l_y / 3 \\ l_x^2 l_y^2 / 4 \end{bmatrix} \quad (38)$$

$$\mathbf{K} = k \int_0^{l_x} \int_0^{l_y} \mathbf{B}^T \mathbf{B} \, dx \, dy = k \begin{bmatrix} l_x l_y & l_x^2 l_y & l_x l_y^2 / 2 \\ l_x^2 l_y & 4 l_x^3 l_y / 3 & l_x^2 l_y^2 / 2 \\ l_x l_y^2 / 2 & l_x^2 l_y^2 / 2 & (l_x^3 l_y + l_x l_y^3) / 3 \end{bmatrix} \quad (39)$$

Para  $l_x = 2 \text{ m}$ ,  $l_y = 1 \text{ m}$ ,  $f = 0,8 \text{ W/m}^2$ ,  $k = 10 \text{ W/(mK)}$ , resulta

$$\mathbf{F} = \begin{bmatrix} 1,60 \\ 2,13 \\ 0,80 \end{bmatrix}, \quad \mathbf{K} = \begin{bmatrix} 20 & 40 & 10 \\ 40 & 106,67 & 20 \\ 10 & 20 & 33,33 \end{bmatrix}, \quad \mathbf{A} = \mathbf{K}^{-1} \mathbf{F} = \begin{bmatrix} 0,1667 \\ -0,04 \\ 0 \end{bmatrix} \quad (40)$$

Finalmente, la distribución de temperaturas en el dominio puede aproximarse como

$$T = 0,1667x - 0,04x^2 = T(x) \quad (41)$$

Esta solución es graficada en la Figura 4.

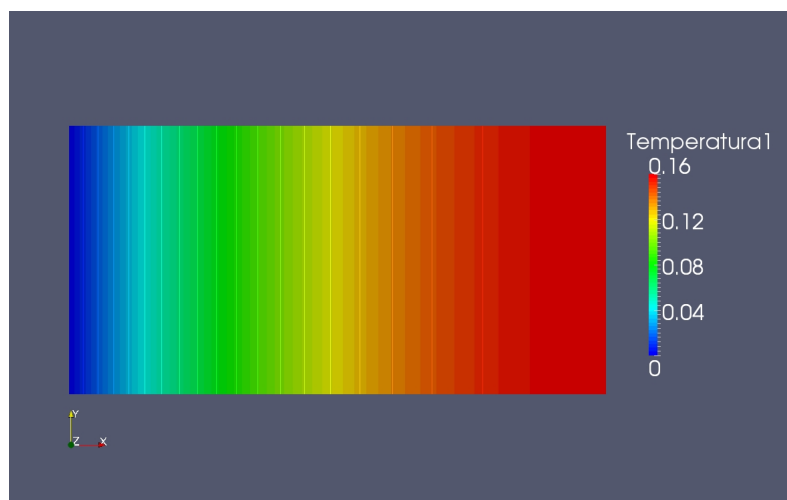


Figura 4: Ejemplo 1: Distribución de temperaturas

### 2.3. Ejemplo 2: Conducción de calor en un dominio rectangular con fuente de calor variable

Supongamos el mismo problema del ejemplo 1, a excepción de considerar que la fuente de calor varía a través del dominio según la expresión

$$f(x, y) = \text{sen} \frac{\pi x}{l_x} \text{sen} \frac{\pi y}{l_y} \quad (42)$$

Esta fuente de calor es ilustrada en la Figura 5.

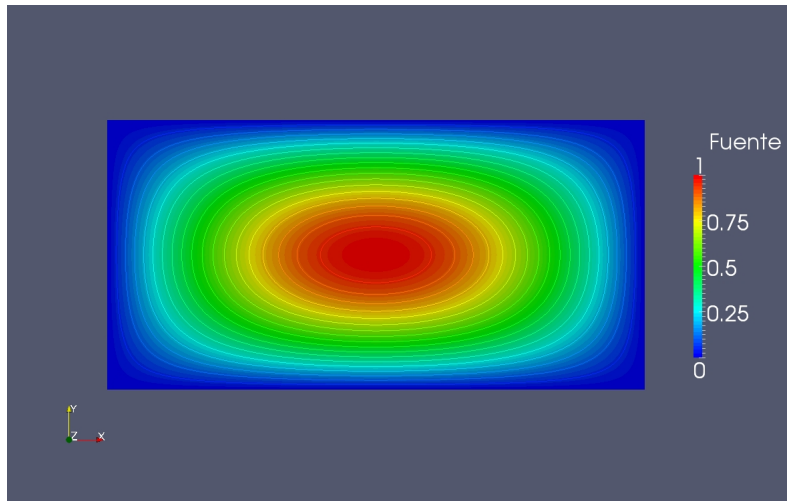


Figura 5: Ejemplo 2: Fuente variable  $f = f(x, y)$

La matriz  $\mathbf{K}$  es idéntica que en el ejemplo anterior

$$\mathbf{K} = \begin{bmatrix} 20 & 40 & 10 \\ 40 & 106,67 & 20 \\ 10 & 20 & 33,33 \end{bmatrix} \quad (43)$$

y sólo debemos recalcular

$$\mathbf{F} = \int_0^{l_x} \int_0^{l_y} \text{sen} \frac{\pi x}{l_x} \text{sen} \frac{\pi y}{l_y} \mathbf{X} \, dx \, dy = \begin{bmatrix} 2l_x^2 l_y / \pi^2 \\ 2(\pi^2 - 4)l_x^3 l_y / \pi^4 \\ l_x^2 l_y^2 / \pi^2 \end{bmatrix} = \begin{bmatrix} 0,8106 \\ 0,9641 \\ 0,4053 \end{bmatrix} \quad (44)$$

Luego,

$$\mathbf{A} = \mathbf{K}^{-1} \mathbf{F} = \begin{bmatrix} 0,08901 \\ -0,02464 \\ 0 \end{bmatrix} \quad (45)$$

Finalmente, la distribución de temperaturas en el dominio puede aproximarse como

$$T = 0,08901x - 0,02464x^2 = T(x) \quad (46)$$

Esta solución es graficada en la Figura 6.

Esta aproximación es pobre por cuanto no alcanza a captar la variación de  $T$  en la dirección  $y$ . Para mejorarla, debemos aumentar el número de términos en el polinomio aproximante.

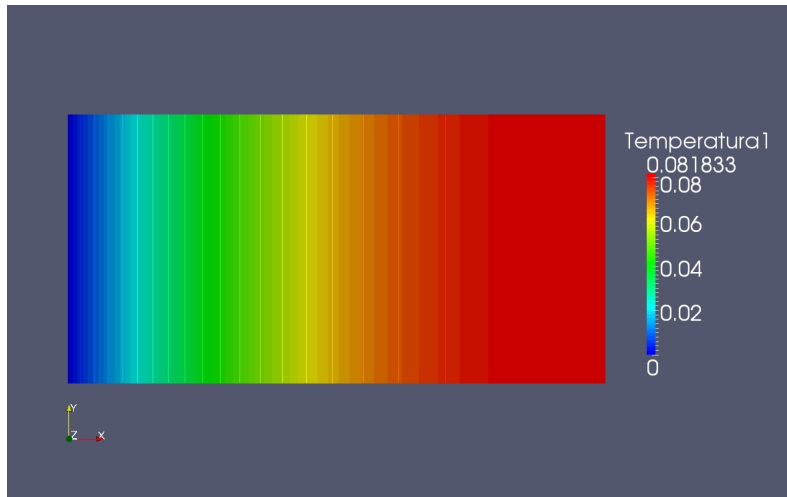


Figura 6: Ejemplo 2: distribución de temperatura para  $n = 1$

Si tomamos  $n = 2$ , tenemos

$$\mathbf{A} = \begin{bmatrix} a_{00} \\ a_{10} \\ a_{01} \\ a_{20} \\ a_{11} \\ a_{02} \end{bmatrix}, \quad \mathbf{X} = \begin{bmatrix} x \\ x^2 \\ xy \\ x^3 \\ x^2y \\ xy^2 \end{bmatrix}, \quad \mathbf{B} = \begin{bmatrix} 1 & 2x & y & 3x^2 & 2xy & y^2 \\ 0 & 0 & x & 0 & x^2 & 2xy \end{bmatrix} \quad (47)$$

$$\mathbf{B}^T \mathbf{B} = \begin{bmatrix} 1 & 2x & y & 3x^2 & 2xy & y^2 \\ 2x & 4x^2 & 2xy & 6x^3 & 4x^2y & 2xy^2 \\ y & 2xy & x^2 + y^2 & 3x^2y & 2xy^2 + x^3 & y^3 + 2x^2y \\ 3x^2 & 6x^3 & 3x^2y & 9x^4 & 6x^3y & 3x^2y^2 \\ 2xy & 4x^2y & 2xy^2 + x^3 & 6x^3y & 4x^2y^2 + x^4 & 2xy^3 + 2x^3y \\ y^2 & 2xy^2 & y^3 + 2x^2y & 3x^2y^2 & 2xy^3 + 2x^3y & y^4 + 4x^2y^2 \end{bmatrix} \quad (48)$$

Luego:

$$\mathbf{F} = \int_0^{l_x} \int_0^{l_x} \text{sen} \frac{\pi x}{l_x} \text{sen} \frac{\pi y}{l_y} \mathbf{X} \, dx \, dy = \begin{bmatrix} 0,8106 \\ 0,9641 \\ 0,4053 \\ 1,2712 \\ 0,4821 \\ 0,2410 \end{bmatrix} \quad (49)$$

$$\mathbf{K} = k \int_0^{l_x} \int_0^{l_x} \mathbf{B}^T \mathbf{B} \, dx \, dy = k \begin{bmatrix} 20 & 40 & 10 & 80 & 20 & 20/3 \\ 40 & 320/3 & 20 & 240 & 160/3 & 40/3 \\ 10 & 20 & 100/3 & 40 & 160/3 & 95/3 \\ 80 & 240 & 40 & 576 & 120 & 80/3 \\ 20 & 160/3 & 160/3 & 120 & 896/9 & 50 \\ 20/3 & 40/3 & 95/3 & 80/3 & 50 & 356/9 \end{bmatrix} \quad (50)$$

de donde

$$\mathbf{A} = \mathbf{K}^{-1}\mathbf{F} = \begin{bmatrix} 0,08927 \\ -0,02464 \\ 0,00324 \\ 0 \\ 0 \\ 0,00324 \end{bmatrix} \quad (51)$$

Finalmente, para  $n = 2$ , la distribución de temperaturas en el dominio puede aproximarse como

$$T = 0,08927x - 0,02464x^2 + 0,0324xy - 0,0324xy^2 = T(x, y) \quad (52)$$

Esta solución es graficada en la Figura 7.

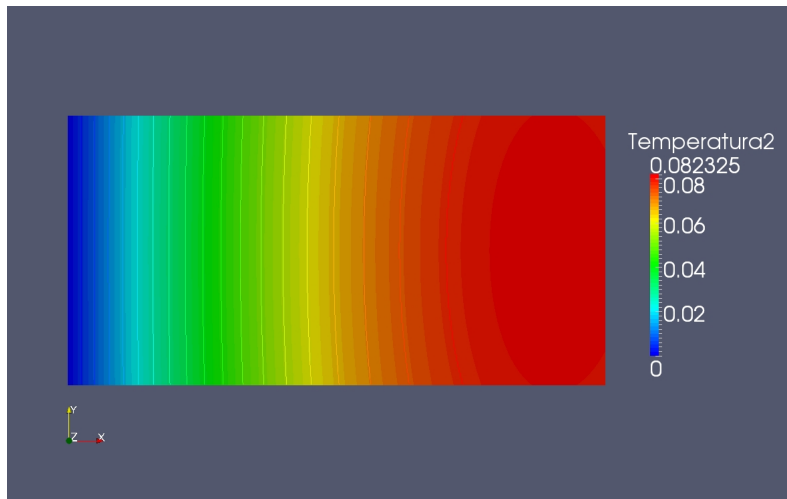


Figura 7: Ejemplo 2: distribución de temperatura para  $n = 2$

La Figura 8 permite comparar las aproximaciones para  $n = 1$  y  $n = 2$ .

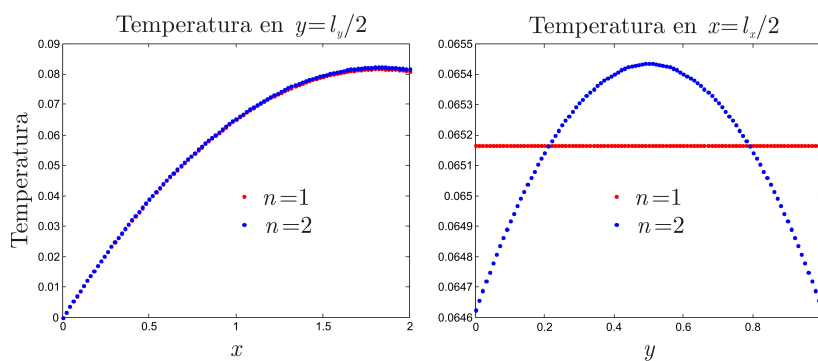


Figura 8: Ejemplo 2: temperatura a lo largo de las líneas  $y = l_y/2$  y  $x = l_x/2$  para  $n = 1$  y  $n = 2$